

ANEXOS A LA SOLICITUD DE DEPÓSITO DE LA LÍNEA CELULAR [MS] FIPS4-R4F-1 EN EL BANCO NACIONAL DE LÍNEAS CELULARES



ANEXOS

Anexo 1: Fenotipo. Marcadores de pluripotencia

Anexo 2: Diferenciación in vitro

Anexo 3: Cariotipo

Anexo 4: Resultados microsatélites

Anexo 5: Integración y silenciamiento de los transgenes de

reprogramación

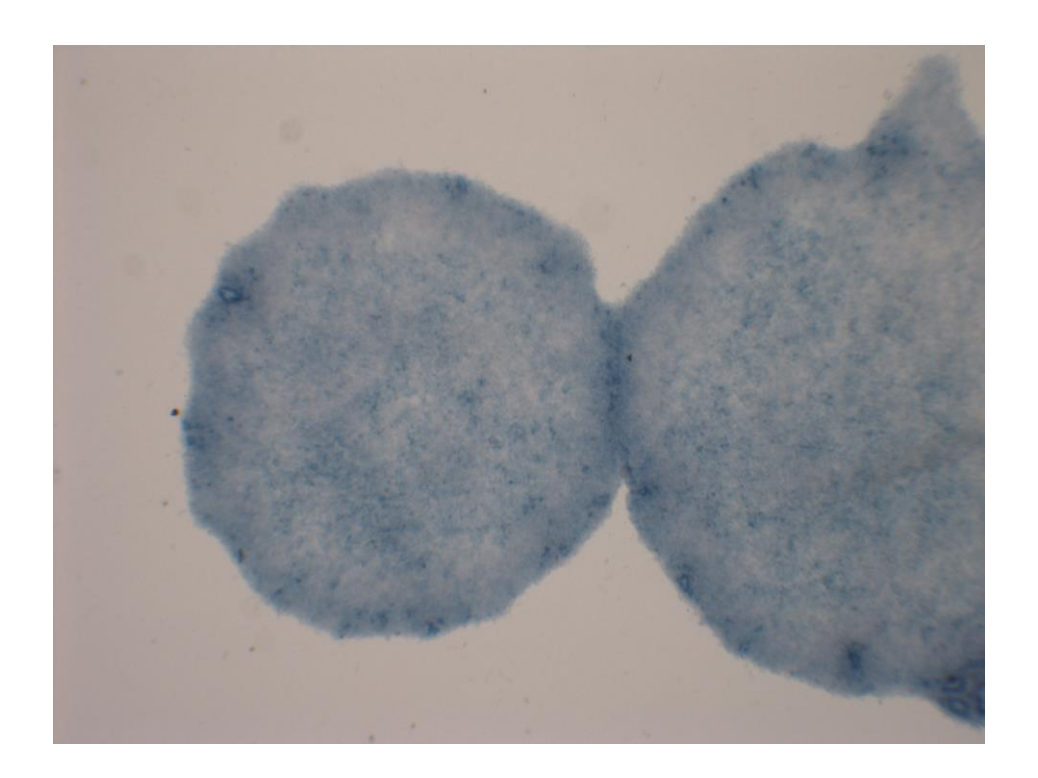
Anexo 6: Genotipado

Anexo 7: Resultado test de micoplasma



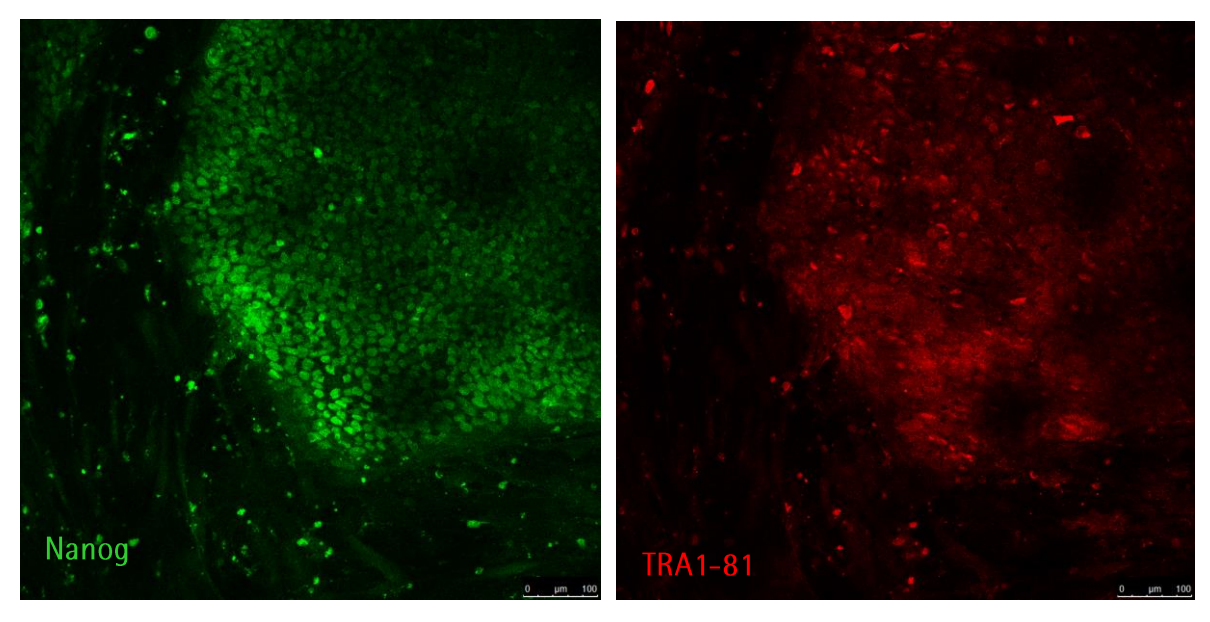
Anexo 1 Fenotipo. Marcadores de pluripotencia





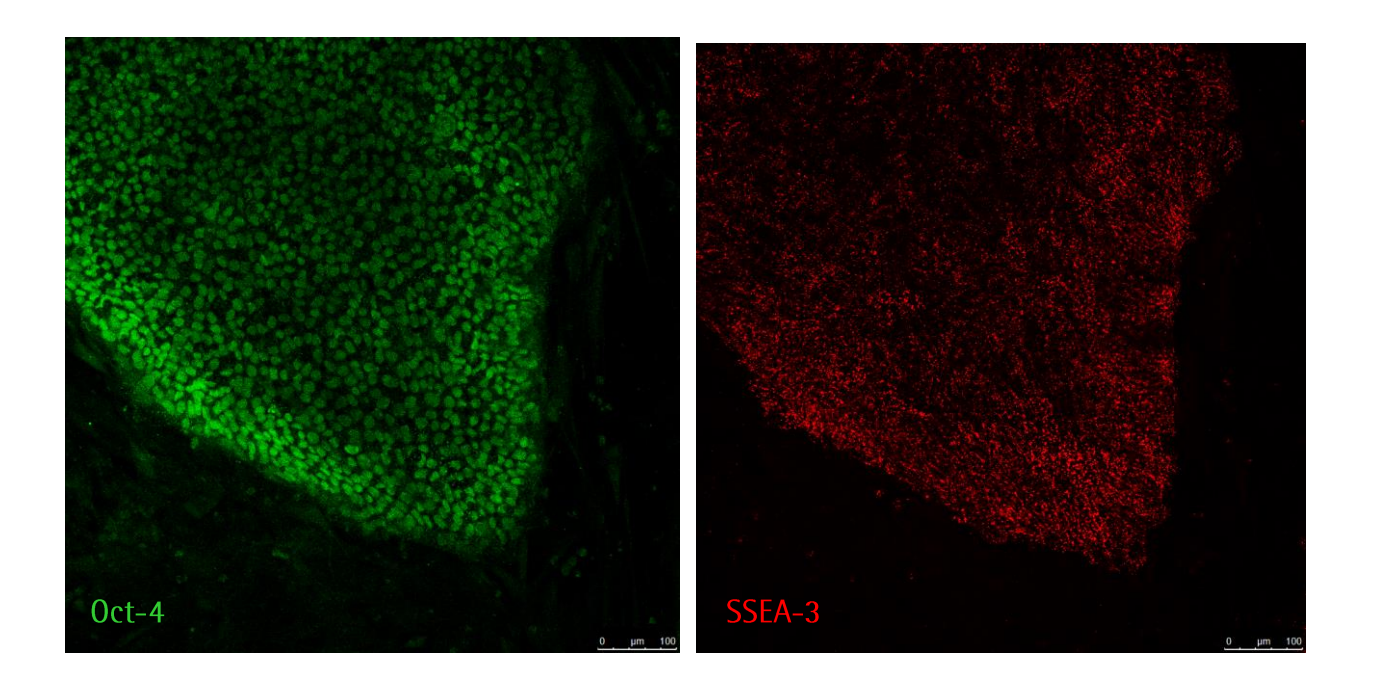
Actividad fosfatasa alcalina de la línea de células pluripotentes





Resultado positivo por inmunocitoquímica para las proteínas de pluripotencia

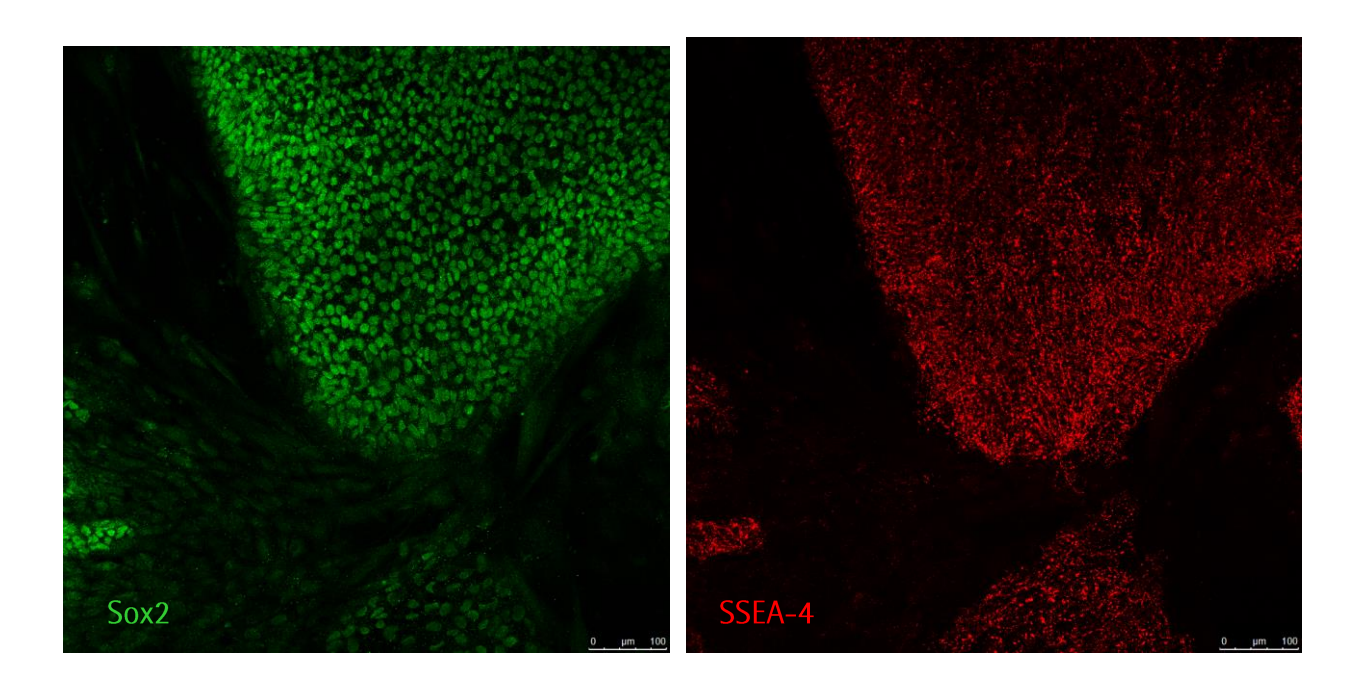
Nanog y TRA1-81

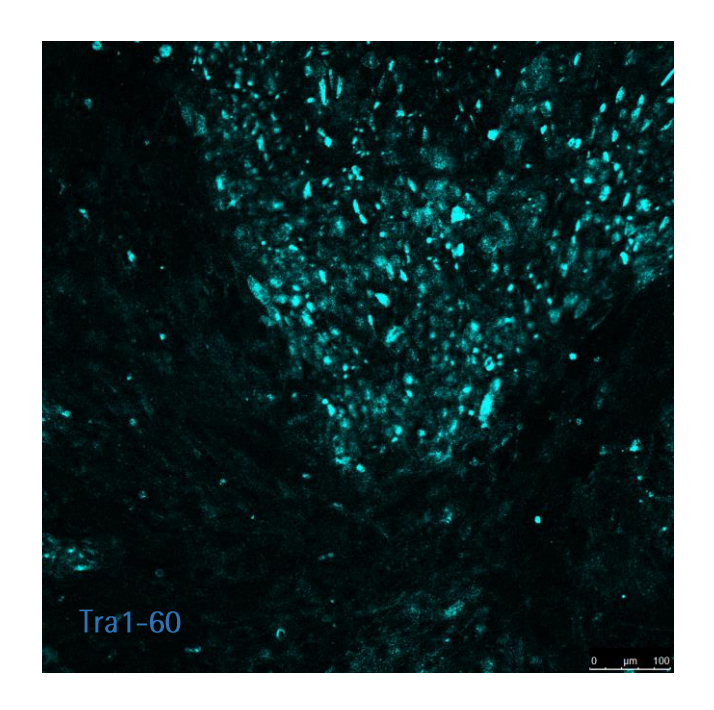


Resultado positivo por inmunocitoquímica para las proteínas de pluripotencia

Oct-4 y SSEA-3





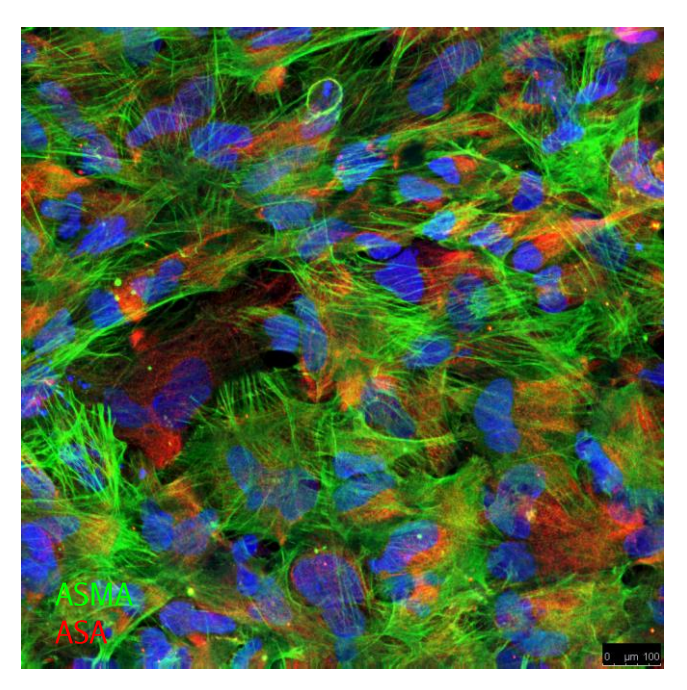


Resultado positivo por inmunocitoquímica para las proteínas de pluripotencia **Sox-2, SSEA-4** y **TRA1-60**

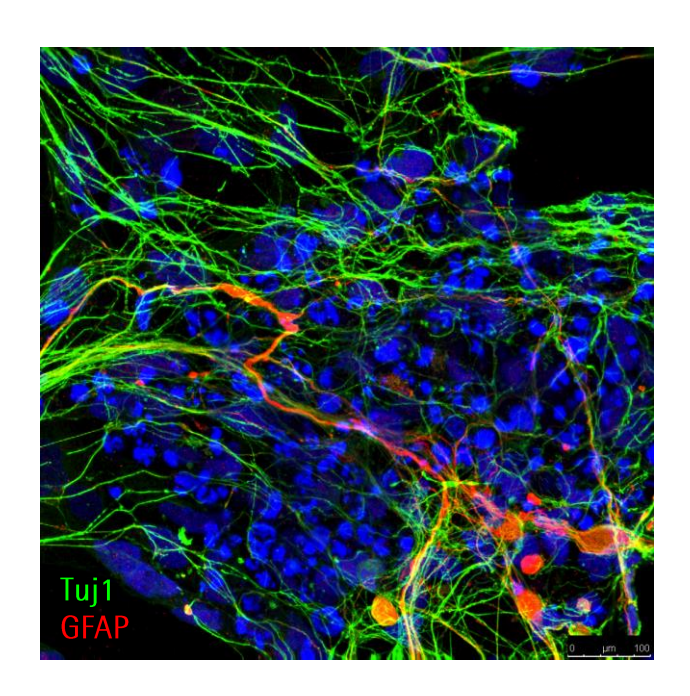


Anexo 2 Diferenciación *in vitro*



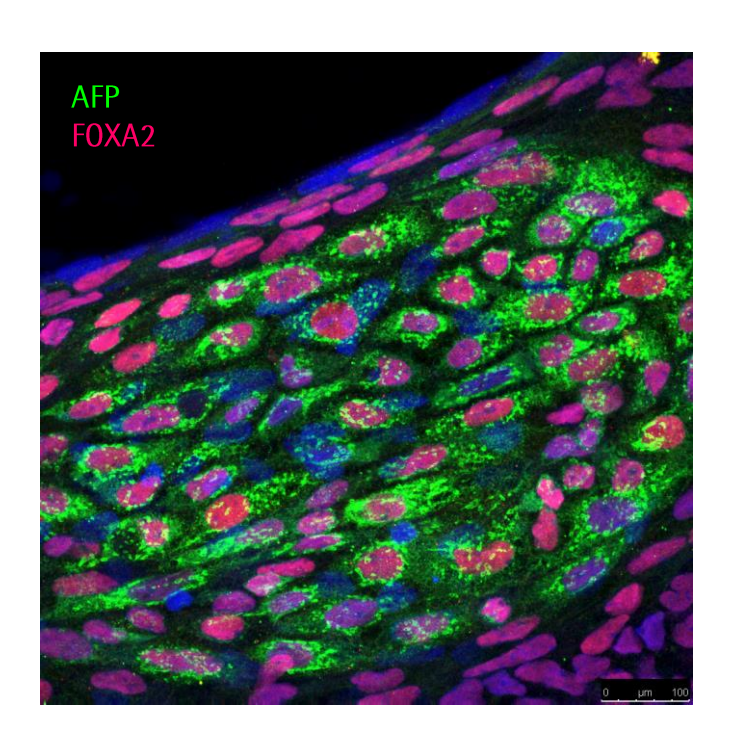


Diferenciación in vitro a mesodermo: Células positivas para ASMA y ASA



Diferenciación in vitro a ectodermo: Células positivas para Tuj1 y GFAP





Diferenciación in vitro a endodermo: Células positivas para AFP y FOXA2

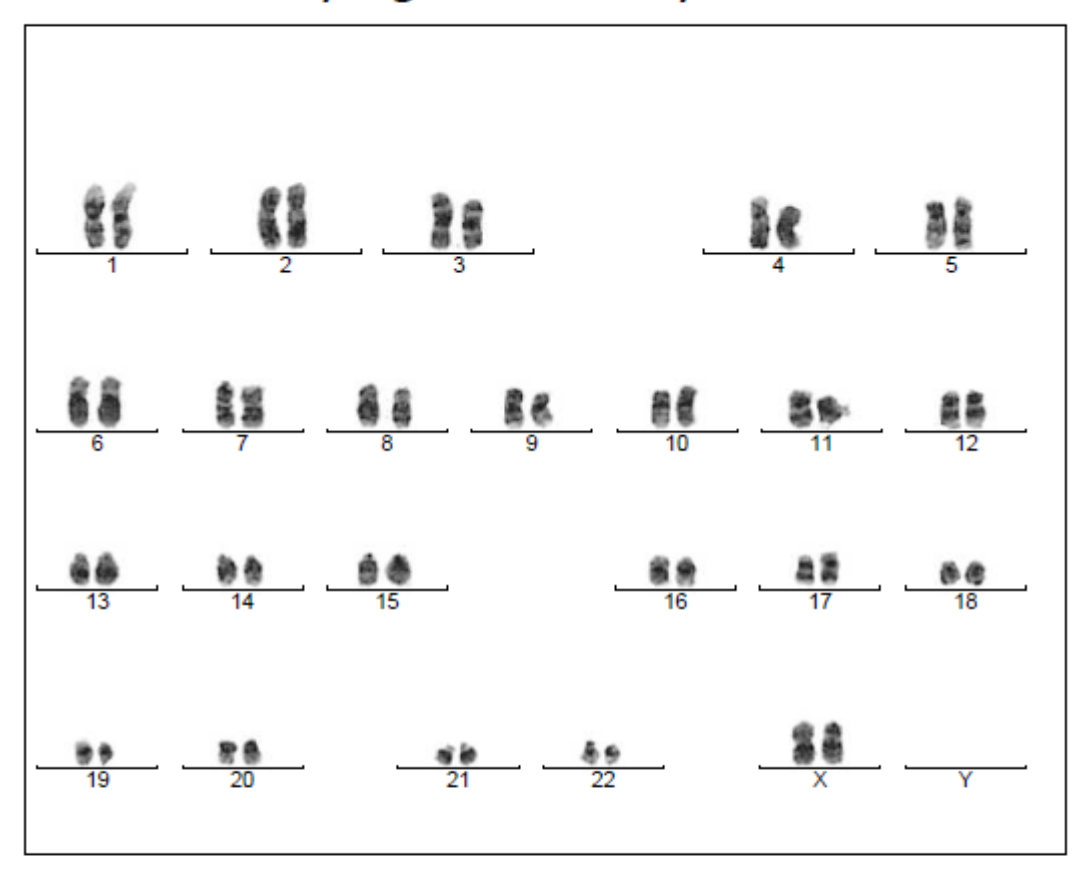


Anexo 3 Cariotipo





Cytogenetic analysis





Case name: A161161

Patient name: [MS] FIPS4 R4F-1 P15

Specimen type: stem cells

Result: 46,XX



Anexo 4 Resultado microsatélites





Biobanco del Sistema Sanitario Público de Andalucía CONSEJERÍA DE SALUD

v.03



Table 5. The GenePrint® 10 System Allelic Ladder Information.

STR Locus Label		Size Range of Allelic Ladder Components ^{1,2} (bases)	Repeat Numbers of Allelic Ladder Components				
TH01	FL	156-195	4-9, 9.3, 10-11, 13.3				
D21811	FL	203-259	24, 24.2, 25, 25.2, 26-28, 28.2, 29, 29.2, 30, 30.2, 31, 31.2, 32, 32.2, 33, 33.2, 34, 34.2, 35, 35.2, 36-38				
D5S818	JOE	119-155	7-16				
D138317	JOE	176-208	7-15				
D7S820	JOE	215-247	6-143				
D168539	JOE	264-304	5,8-15				
CSF1PO	JOE	321-357	6-15				
Amelogenin	TMR	106, 112	X, Y				
vWA	TMR	123-171	10-22				
TPOX	TMR	262-290	6-13				

^{&#}x27;The length of each allele in the allelic ladder has been confirmed by sequence analysis.

Figura 1, Información de la casa comercial Promega sobre la relación entre cada uno de los loci STR amplificados y las repeticiones (en rangos de tamaño y número) que pueden estar presentes en dichos productos de PCR.

RESULTADOS:

A continuación se detalla la correlación entre el código de muestra de Biobanco y la línea celular procesada:

código Biobanco	Línea celular				
32151906051	MS FiPS 4-R4F-1 p17				

En la tabla siguiente se muestran los resultados correspondientes a los alelos encontrados para cada uno de los marcadores microsatélites analizados.

Loci STR analizados

Línea celular	AMEL	CSF1PO	D13S317	D16S539	D21511	D55818	D75820	TH01	TPOX	vWA
MS FiPS 4-R4F-1 p17	X	11, 13	8, 12	10, 12	28	10, 12	11, 12	6, 7	8, 11	17, 18

Granada, a 11 de Diciembre de 2015

Área de Biología Molecular

^{*}When using an internal lane standard, such as the Internal Lane Standard 600, the calculated sizes of allelic ladder components may differ from those listed. This occurs because different sequences in allelic ladder and ILS components may cause differences in migration. The dye label also affects migration of alleles.

^{&#}x27;HeLa cells have a microvariant allele 13.3 at the D13S317 locus. This will appear as an off-ladder allele (see www.estl.nist.gov/strbase/var_D13S317.htm#Tri).



RESULTADOS:

A continuación se detalla la correlación entre el código de muestra de Biobanco y la línea celular procesada:

código Biobanco	Línea celular				
32151906042	EM4F-MDSC p4				

En la tabla siguiente se muestran los resultados correspondientes a los alelos encontrados para cada uno de los marcadores microsatélites analizados.

	Loci STR analizados									
Línea celular	AMEL	CSF1PO	D135317	D165539	D21511	D55818	D75820	TH01	TPOX	vWA
EM4F-MDSC p4	Х	11, 13	8, 12	10, 12	28	10, 12	11, 12	6, 7	8, 11	17, 18

Granada, a 11 de Diciembre de 2015

Área de Biología Molecular

Análisis de microsatélites en la línea de células madre pluripotentes [MS] FiPS4-R4F-1 y en la línea de fibroblastos de la cual proceden.

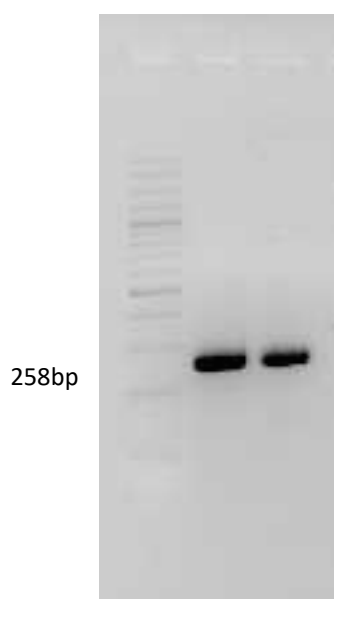


Anexo 5 Integración y silenciamiento de los transgenes de reprogramación

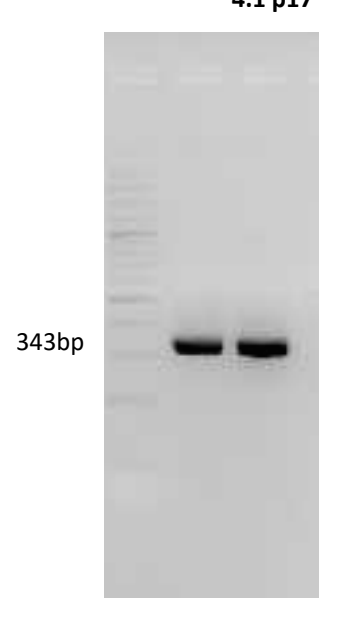


pMXs-(fl-mOct4_Vp16_PTV_HA-mSox2_mOrange

MS 4.1 p17

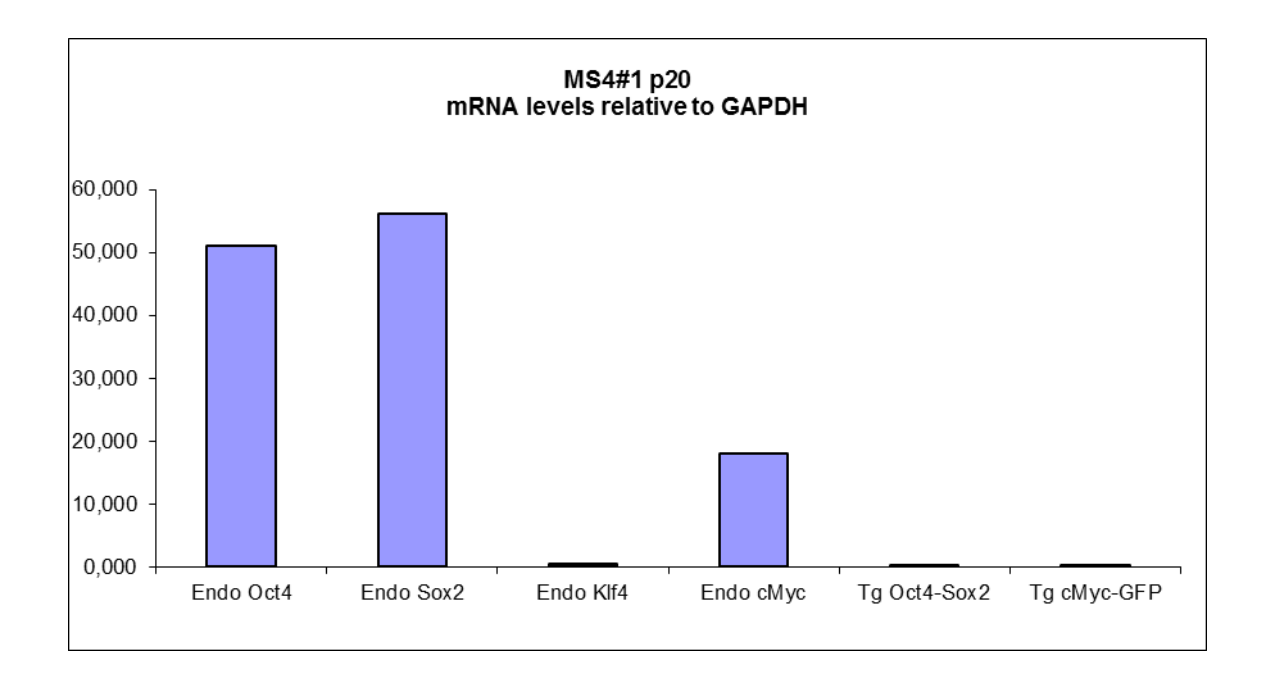


pMXs-Klf4-cMyc-GFP MS 4.1 p17



Análisis gPCR mostrando las integraciones genómicas de los genes Oct-4, Sox-2, Klf4 y c-Myc utilizados para generar la línea



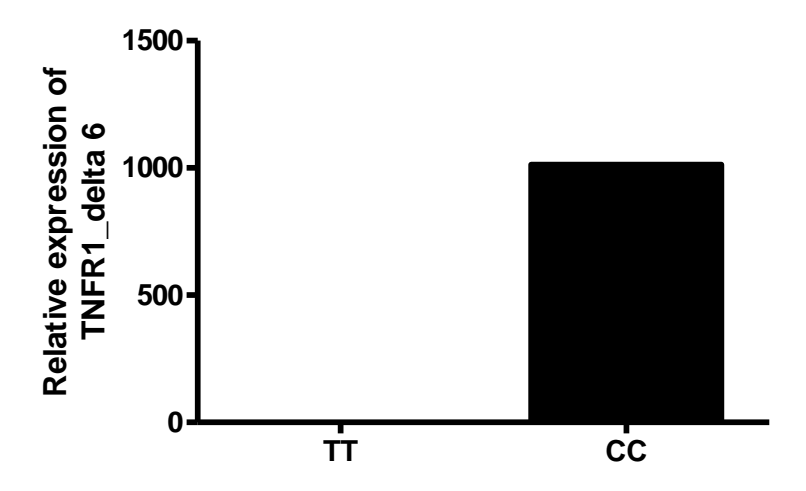


Silenciamiento de los transgenes de reprogramación. Análisis por Q-RT-PCR de los niveles de los niveles de expresión de los transgenes indicados. Se muestra expresión relativa a GAPDH



Anexo 6 Genotipado





La línea **MS FiPS4-R4F-1** presenta el genotipo CC en el polimorfismo rs1800693 de TNFRSF1A, comparado con 3 controles de genotipo TT.



Anexo 7 Resultado test de micoplasma



MYCOPLASMA TEST

10-02-2016

1 2 3



- 1. MS FiPS4-R4F-1 p22
- 2. CT -
- 3. CT +